

25. CA-ESO 法を用いた建築構造の形態創生に関する研究

1110920133 加藤宏一朗  
指導教員 藤井大地 教授

位相最適化 CA-ESO 法 ボクセル有限要素法 3次元構造 構造形態創生

1. はじめに

近年、解析技術や生産・製造技術等の発達により、様々な形態の建築物が造られるようになってきている。また、3D プリンタの普及により、より軽量で剛性の高い3次元構造形態を創生する技術の必要性が高まっている。位相最適化手法は、このようなニーズに応える形態創生手法の一つである。

位相最適化手法は、大きく数理計画法にもとづく方法と発見的手法にもとづく方法の2種に分類されるが、発見的手法である CA-ESO 法は2次元の剛性最大化問題において、数理計画法にもとづく SIMP 法と同等以上の性能を有することが示されたり。また、本方法は SIMP 法と比較して、除去要素の密度を残す必要がないため、特に3次元問題では、計算効率を格段に上げられる可能性がある。そこで本論文では、文献1)で提案した CA-ESO 法とボクセル (voxel) 有限要素法を組み合わせた3次元構造物の位相最適化手法を提案し、数理計画法にもとづく SIMP 法<sup>2)</sup>と比較することにより、3次元問題における CA-ESO 法の有効性を検討する。

2. CA-ESO 法による建築構造の位相最適化

CA-ESO 法では、要素除去に関しては、拡張 ESO 法のルールを用いる。拡張 ESO 法では、各要素の Von Mises 応力を要素除去に関する指標とし、この応力が閾値以下になると要素が除去される。すなわち、

$$\rho_i = 0 \quad \text{if} \quad \sigma_i^{VM} < X_{cr} \quad ; i=1, \dots, N_L \quad (1)$$

ここに、 $N_L$  は残存要素数、 $\rho_i$  は  $i$  番目要素の材料密度、 $\sigma_i^{VM}$  は  $i$  番目要素の Von Mises 応力である。また、(1)式の  $X_{cr}$  は閾値で、次式で定義される。

$$X_{cr} = \sigma_m - \eta \cdot \phi \quad (2)$$

ただし、 $\sigma_m$  と  $\phi$  は残存要素の Von Mises 応力の平均値と偏差平均であり、次式から計算される。

$$\sigma_m = \frac{1}{N_L} \sum_{i=1}^{N_L} \sigma_i^{VM} \quad \phi = \sqrt{\frac{\sum_{i=1}^{N_L} (\sigma_i^{VM} - \sigma_m)^2}{N_L}} \quad (3)$$

ここに、 $\eta$  は要素の除去量を制御する制御変数であり、 $\eta$  が大きいと要素が除去されにくく、 $\eta$  が小さいと除去されやすくなる。

次に、要素の生成は CA 法のルールに基づいて行う。本研究では、 $i$  番目要素のノイマン近傍要素 (面を共有する要素) に対して、次式の簡単なルールを採用する。

$$\rho_{s_{ij}} = 1 \quad \text{if} \quad \sigma_i^{VM} \geq \sigma_m^{CA} \quad ; i=1, \dots, N_L, \quad j=1, \dots, n_i \quad (4)$$

ただし、 $\sigma_m^{CA}$  は残存要素の応力平均値で(3)式の  $\sigma_m$  と同様に計算される。また、 $s_{ij}$ 、 $n_i$  は面を共有する要素 (ノイマン近傍要素) の要素番号と要素数である。

図1は CA-ESO 法の計算フローを示したものである。図に示すように、本方法では、総密度  $m (=N_L)$  が与えた制約値  $\bar{m}$  より大きい場合は ESO 法による要素除去を行い、小さい場合は CA 法による要素生成を行う。そして、各ステップで制約条件を  $0.95 < m/\bar{m} < 1.05$  の範囲で満たし、(2)式の  $\sigma_m$  と  $\phi/\sigma_m$  が共に小さくなる解、すなわち次式の値が最小となる解を最適解として保存する。

$$f_{obj} = \sqrt{(\sigma_m/\sigma_m^0)^2 + \{(\phi/\sigma_m)/(\phi/\sigma_m)^0\}^2} \quad (5)$$

ただし、 $\sigma_m^0$  および  $(\phi/\sigma_m)^0$  は初期構造 (0 step) の値。

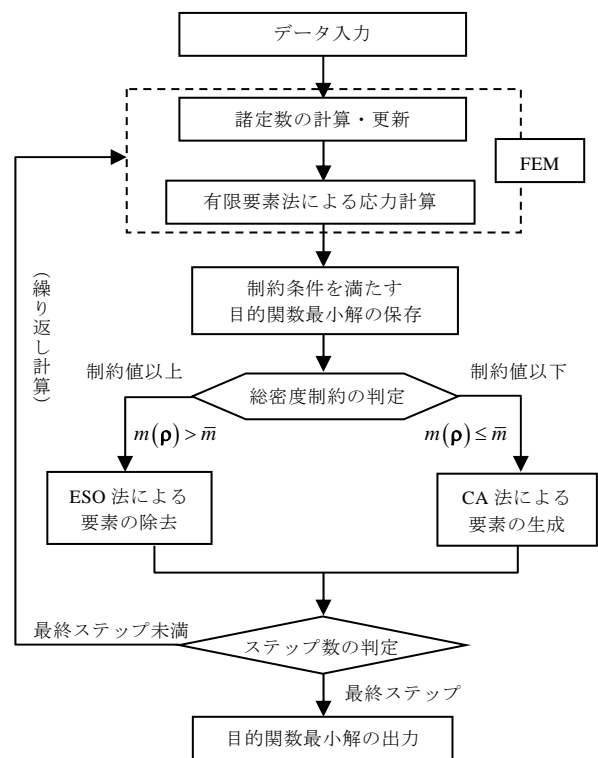


図1 CA-ESO 法の計算フロー

3. 解析例

まず、3階建ての中層ビルを想定した解析モデルにより解析を行う。図2は設計領域を示す。要素分割は  $120 \times 60 \times 120$  の 168000 要素としている。解析は、対象性を利用し 1/4 領域で行う。2,3 階の床と屋上は密度 1 の設計固定要素とし、ここに鉛直均等荷重を加えている。境

界条件は、1 階床の全節点を拘束している。また、総密度制約値  $\bar{m}/m^0$  ( $m^0$  は初期総密度) は 0.05, 最適化ステップ数は 50 としている。

図 3 は、各ステップの総密度比と(5)式の目的関数の推移を示したものである。ただし、(2)式の  $\eta$  は 0.3 としている。また、図 4 は CA-ESO 法の解と SIMP 法の解を比較したものである。

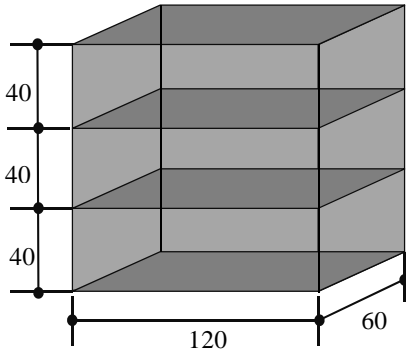


図 2 解析例 1

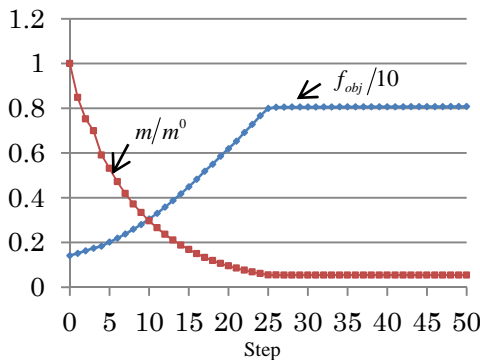
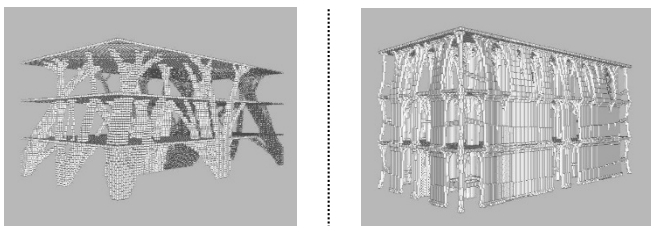


図 3 総密度比( $m/m^0$ )と目的関数( $f_{obj}$ )の推移



CA-ESO 法( $\eta=0.3$ )  
 $C/C^0=2.19$

SIMP 法( $w=1.0$ )  
 $C/C^0=6.96$

図 4 CA-ESO 法と SIMP 法の解の比較

次に、図 5 に示す橋梁構造の中央部に道路床版を持つ橋梁の解析を行う。ここでは、橋梁構造体の下部の両端を支持し、中央部の床版に均様な鉛直分布荷重を受ける中略橋を想定した。解析は、対称性を利用して 1/4 領域で行い、要素分割数は  $10 \times 40 \times 40$  の 16000 要素(1/4 領域)としている。また、総密度制約値  $\bar{m}/m^0$  は 0.3, 最適化ステップ数は 100 としている。

図 6 は CA-ESO 法と SIMP 法の全領域の透視図とコンプライアンス比を比較したものである。

また、表 1 は各例題の解析時間の比較を示したものである。表より、CA-ESO 法の計算効率の良さがわかる。

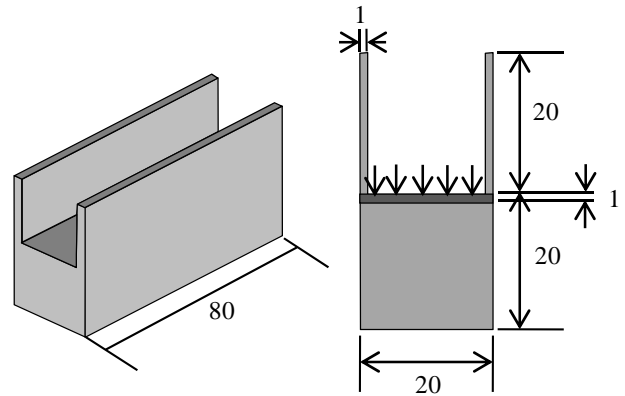
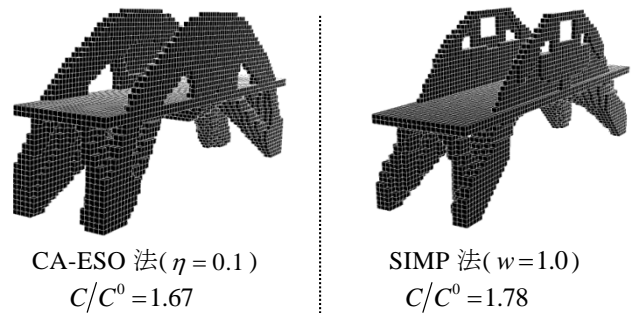


図 5 解析例 2



CA-ESO 法( $\eta=0.1$ )  
 $C/C^0=1.67$

SIMP 法( $w=1.0$ )  
 $C/C^0=1.78$

図 6 CA-ESO 法と SIMP 法の解の比較

表 1 解析時間の比較

	CA-ESO 法	SIMP 法
解析例 1	4 時間 20 分	30 時間 6 分
解析例 2	3 分	5 分

解析例: Intel® Core™i5 CPU@3.47GHz

#### 4. まとめ

本論文では、発見的手法である CA-ESO 法とボクセル有限要素法を組み合わせた 3 次元構造物の位相最適化手法を提案し、SIMP 法との比較によりその有効性を検討した。その結果、本論文で提案した手法は、解の内部構造が骨組的な構造となりやすく、いずれの場合も CA-ESO 法の方が計算時間を短縮でき、コンプライアンス比の低い剛性の高い解が得られることがわかった。

#### 参考文献

- 1) 藤井大地, 真鍋匡利: CA-ESO法による構造物の位相最適化, 日本建築学会構造系論文集, Vol.78, 第691号, 2013.9
- 2) 藤井大地: パソコンで解く構造デザイン, 丸善, 2002